Révision: 13347

Date: 09/07/2015 Page: 1/9

Clé: V3.01.100

Titre : SSLL100 - Structure symétrique de poutres avec un [...]

Responsable : Jean-Luc FLÉJOU

# SSLL100 - Structure symétrique de poutres avec un coude

#### Résumé:

Ce test en statique, élasticité linéaire permet de valider les éléments de poutre droits et courbes en flexion plane, ainsi que les éléments discrets. Quatre chargements sont définis, dont certains en repère local.

Deux modélisations permettent de tester d'une part les éléments droits (le coude est modélisé à l'aide de 20 éléments droits) et d'autre part les éléments droits et courbes.

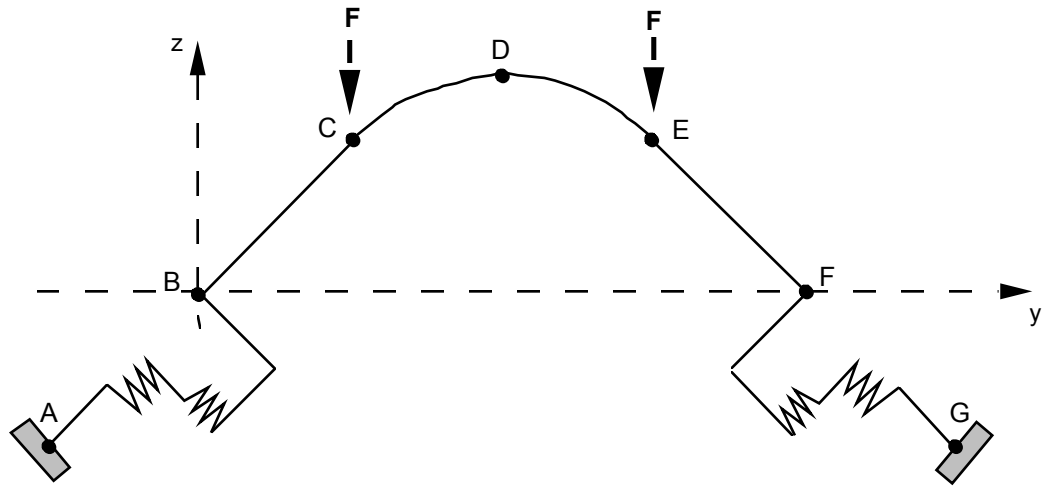
La solution de référence est issue du dossier de validation du code POUX (sauf pour le cas de chargement 5 où il s'agit de non-régression). Les résultats obtenus avec Code\_Aster sont très proches (écart inférieur à  $2.10^{-4}$  pour la modélisation de l'arc de cercle avec POU\_C\_T, écart un peu supérieur ( 3% ) pour celle avec POU D T, ce qui est dû à une discrétisation trop grossière).

Titre: SSLL100 - Structure symétrique de poutres avec un [...]

Date: 09/07/2015 Page: 2/9 Responsable : Jean-Luc FLÉJOU Clé: V3.01.100 Révision: 13347

# Problème de référence

### Géométrie



Structure plane symétrique par rapport à la droite y=4.

Poutres de section circulaire diamètre extérieur

diamètre intérieur  $di = 0.01 \, m$ 

 $de = 0.04 \, m$ 

Coude (y=4 z=0)de centre et de rayon =  $2\sqrt{2} m$ dans le repère local

Liaison nœud-nœud  $Kx = Kz = 10^5 N/m$ 

Coordonnées des points (en m):

		A	В	C	D	E	F	G	
	x	0.	0.	0.	0.	0.	0.	0.	
	y	<b>-2</b> .	0.	2.	4.	6.	8.	10.	
	Z	<b>-2</b> .	0.	2.	$2\sqrt{2}$	2.	0.	<b>-2</b> .	

#### 1.2 Propriétés de matériaux

Module d'Young:  $E = 2.1 \, 10^{11} \, Pa$ Coefficient de Poisson: v = 0.3Masse volumique:  $\rho = 7800 \text{ kg/m}^3$ 

Coefficient de dilatation thermique:  $\alpha = 10^{-6} m/^{\circ} C$ 

#### 1.3 **Conditions aux limites et chargements**

Points A et G encastrés (v = w = 0)( sauf pour le cas de charge 2 )

Chargement:

1) charge concentrée en C et E $F = 1000 \, N$ 

2) déplacement imposé en A et G $Dx = \sqrt{2}$  en repère local des mailles AB et

3) dilatation thermique à  $t=100 \,^{\circ} C$ 

4) poids propre

5) matériau dépendant de T

Date: 09/07/2015 Page: 3/9

Titre: SSLL100 - Structure symétrique de poutres avec un [...]

Responsable : Jean-Luc FLÉJOU Clé : V3.01.100 Révision : 13347

### 2 Solution de référence

# 2.1 Méthode de calcul utilisée pour la solution de référence

La solution de référence est celle donnée dans la fiche de validation STA.MPACO/B du code POUX de EDF R&D [bib1], sauf pour le cas de chargement 5 où il s'agit de non-régression.

### 2.2 Résultats de référence

Déplacements des points  $\,B\,,\,\,C\,$  et  $\,D\,$  .

### 2.3 Incertitude sur la solution

- modélisation  $A:<10^{-3}$  (élément fini fournissant des valeurs exactes aux nœuds),
- modélisation B: quelques % (solution numérique fonction de la discrétisation).

## 2.4 Références bibliographiques

1.Code de calcul de structures de poutre POUX. Fiche de validation du module EFPOU MPACO/B - Direction des Etudes et Recherches E.D.F (1988)

Titre: SSLL100 - Structure symétrique de poutres avec un [...]

Date: 09/07/2015 Page: 4/9 Responsable : Jean-Luc FLÉJOU Clé: V3.01.100 Révision: 13347

#### Modélisation A 3

#### 3.1 Caractéristiques de la modélisation

```
6 mailles SEG2:
                 2 mailles CD, CE
                                             poutre courbe
                                                                 POU C T
                                             poutre droite
                                                                  POU D T
                 2 mailles BC, EF
                 2 mailles AB , FG
                                             élément de liaison
                                                                  DIS T
```

#### **Conditions limites:**

```
DDL_IMPO= _F(GROUP_NO=Poutre,
                                  DX = 0., DRY = 0., DRZ = 0.)
                                           DY=0.
         F(NOEUD=('A', 'G'),
                                   DX = 0.,
                                                     DZ = 0.
```

#### cas de charge 1

```
FORCE NODALE= F(NOEUD=('C','E'), FZ = -1000.0)
```

#### cas de charge 2 (uniquement)

```
(NOEUD='A',
                     DX = 0., DY = 1.,
                                      DZ=1.
                            DY=-1.,
(NOEUD='G',
                     DX = 0.,
                                       DZ=1.
```

#### cas de charge 3 : Chargement en température via la commande AFFE MATERIAU

```
AFFE VARC= F(NOM VARC='TEMP', VALE REF=0., EVOL=TEMP,
             TOUT='OUI', NOM CHAM='TEMP',),)
```

#### cas de charge 4

```
PESANTEUR= F(GRAVITE=9.81,
              DIRECTION=(0., 0., -1.))
```

#### cas de charge 5 : Cas de charge 1 + chargement thermique dépendant du temps + dépendance du matériau à la température

```
T('INST', 'X', 'Y', 'Z') = 2.*INST*(3.+(4.*Y*Z) + (5.*Y*Y) + (5.*Z*Z))
T('INST'=2)=500
T('INST'=3)=1000
 \alpha = 0 \, m/^{\circ} C
 E(T) = (1.910E + 4*T*T) + (9.045E + 7*T) + 1.80005E + 11
 v(T) = (-2.0E - 8*T*T) + (7.044E - 5*T) + 0.2996
```

Nom des nœuds : A, B, C, D, E, F

Nom des mailles : AB, BC, CD, DE, EF, FG

#### 3.2 Caractéristiques du maillage

Nombre de nœuds : 7

Nombre de mailles et types : 6 SEG2

Titre : SSLL100 - Structure symétrique de poutres avec un [...] Responsable : Jean-Luc FLÉJOU

### Date: 09/07/2015 Page: 5/9

Clé: V3.01.100 Révision: 13347

#### Grandeurs testées et résultats 3.3

Cas	Point	déplacement ( <i>m</i> )	Référence	Aster	%diff	tolérance
	В	$v_{\scriptscriptstyle B}$	-8.120E-3	-8.1201E-3	0.00	1.E-3
1		$w_{\scriptscriptstyle B}$	-1.000E-2	-1.0000E-2	0.00	
Forces	C	$v_C^{\nu}$	7.389E-3	7.3895E-3	0.00	
nodales	D	$w_D$	-2.553E-2	-2.5530E-2	0.00	
	В	$v_{_B}$	9.858E-1	9.8585E-1	0.00	1.E-3
2		$\overline{w}_B^{\scriptscriptstyle B}$	1.000	1.0000	0.00	-
Déplacement	C	$v_C^{\scriptscriptstyle B}$	1.738E-1	1.7382E-1	0.01	_
imposé	D	$w_D$	1.812	1.8120	0.00	-
3	В	$v_{\scriptscriptstyle B}$	-5.660E-6	-5.6597E-6	0.01	1.E-3
Dilatation	C	$W_B$	-1.305E-4	-1.3047E-4	0.02	
Dilatation	D	$egin{array}{c} {oldsymbol v}_C \ {oldsymbol w}_D \end{array}$	5.248E-4	5.2480E-4	0.02	
	В	$v_{\scriptscriptstyle B}$	-3.111E-3	-3.1107E-3	0.01	1.E-3
4		$w_{\scriptscriptstyle B}$	-4.552E-3	-4.5522E-3	0.00	
Pesanteur	C	$v_C^{\nu}$	1.180E-3	1.1802E-3	0.02	
	D	$w_D$	-8.850E-3	-8.8504E-3	0.00	
	В	$v_{\scriptscriptstyle B}$	-8.12266E-03	-8.12368E-03	0.013	1.E-3
5		$\overline{w}_B$	-0.0100	-0.0100	0.00	
Fonction de T	C	$v_{C}^{-}$	9.1571E-03	9.15710E-03	0.00	
INST=1		$w_{C}$	-0.027304	-0.027304	0.00	
	E	${oldsymbol{v}}_E$	-5.64313E-03	-5.643138E-03	0.00	
		$w_{\scriptscriptstyle E}$	-0.023785	-0.023785	0.00	
	F	$\overline{v}_F^-$	8.12266E-03	8.123686	0.013	
		$\overline{w}_F$	-0.0100	-0.0100	0.00	
	В	$v_{_B}$	-8.10916E-03	-8.10916E-03	0.00	1.E-3
5		$\overline{w}_B^{\scriptscriptstyle B}$	-0.0100	-0.0100	0.00	
Fonction de T	C	$v_{C}^{B}$	6.62445E-03	6.6241987E-03	0.004	
INST=2	-	$w_{C}$	-0.0247525	-0.0247522	0.00	
	E	$\overline{v}_E$	-6.62445E-03	-6.6242806E-03	0.003	
	-	$\overline{w}_E$	-0.0247525	-0.0247523	0.00	
	F	$\overline{v}_F^{E}$	8.10916E-03	8.10916E-03	0.00	
		$\overline{w}_F$	-0.0100	-0.0100	0.00	
		·· F				

	.100 - Structure symétrique de poutres avec un [] e : Jean-Luc FLÉJOU				Date : 09/07/2015		
	В	$v_{_B}$	-8.07655E-03	-8.076795E-03	0.003	1.E-3	
5		$w_{\scriptscriptstyle B}$	-0.0100	-0.0100	0.00		
Fonction de T	C	$v_{C}$	4.96385E-03	4.973485E-03	0.19	0.21E-2	
INST=3		$w_{C}$	-0.0230554	-0.0230652	0.00	1.E-3	
	E	$v_E^{c}$	-4.96385E-03	-4.973567E-03	0.2	0.21E-2	
		$w_E$	-0.0230554	-0.0230653	0.043	1.E-3	
	F	$v_F^L$	8.07655E-03	8.0767953E-03	0.003		
		$\overline{w}_F$	-0.01000	-0.01000	0.00		

Date: 09/07/2015 Page: 7/9

Titre : SSLL100 - Structure symétrique de poutres avec un [...]

Responsable : Jean-Luc FLÉJOU Clé : V3.01.100 Révision : 13347

### 4 Modélisation B

# 4.1 Caractéristiques de la modélisation

L'arc de poutre a été modélisé en une ligne polygonale de  $2\times20~$  SEG2 .

```
Conditions limites:
       DDL_IMPO= _F(GROUP_NO='Npoutre', DX= 0.0, DRY= 0.0, DRZ= 0.)
                 F(NOEUD=('A','G), DX=0.0, DY=0.0, DZ=0.)
sauf pour cas de charge 2
                     (NOEUD='A',
                                        DX = 0.0, DY = 1.0, DZ = 1.0)
                     (NOEUD='G',
                                        DX = 0.0, DY = -1.0, DZ = 1.0)
cas de charge 1
       FORCE NODALE= F(NOEUD=('C','D'), Fz = -1000.0)
cas de charge 3 : Chargement en température via la commande AFFE MATERIAU
       AFFE VARC= F(NOM VARC='TEMP', VALE REF=0., EVOL=TEMP,
                     TOUT='OUI', NOM CHAM='TEMP',),)
cas de charge 4
   PESANTEUR= F(GRAVITE=9.81,
                 DIRECTION=(0., 0., -1.))
```

Nom des nœuds : A, B, C, D, E, F

## 4.2 Caractéristiques du maillage

Nombre de nœuds : 45

Nombre de mailles et types : 44 SEG2

### 4.3 Grandeurs testées et résultats

Cas	Point	déplacement ( m )	Référence	Aster	%diff	tolérance
	В	$v_{\scriptscriptstyle B}$	-8.120E-3	-8.1209E-3	0.01	1.E-3
1		${\cal W}_B$	-1.000E-2	-1.0000E-2	0.00	
Forces	C	$v_{\scriptscriptstyle C}$	7.389E-3	7.3863E-3	-0.04	
nodales	D	$w_{\scriptscriptstyle D}$	-2.553E-2	-2.5528E-2	-0.01	
	В	$v_{\scriptscriptstyle B}$	9.858E-1	9.8585E-1	-0.00	1.E-3
2		$w_{\scriptscriptstyle B}$	1.000	1.0000	-0.00	
Déplacement	C	$v_{c}$	1.738E-1	1.7374E-1	-0.04	
imposé	D	$W_D$	1.812	1.8121	0.	
	В	$v_{\scriptscriptstyle B}$	-5.660E-6	-5.6612E-6	0.02	1.E-3
3		$w_B$				

Titre : SSLL100 - Structure symétrique de poutres avec un [] Responsable : Jean-Luc FLÉJOU					Date : 09/07/2015 Page : 8/9 Clé : V3.01.100 Révision : 13347		
	Dilatation	C	$v_{C}$	-1.305E-4	-1.3051E-4	0.01	
		D	$w_D$	5.248E-4	5.2484E-4	0.01	
		В	$v_{\scriptscriptstyle B}$	-3.111E-3	-3.1145E-3	0.11	5.E-3
	4		$W_B$	-4.552E-3	-4.5521E-3	0.00	
	Pesanteur	C	$v_{\scriptscriptstyle C}$	1.180E-3	1.1409E-3	-3.31	5.E-2
		D	$w_{D}$	-8.850E-3	-8.8148E-3	-0.40	5.E-3

# 4.4 Remarques

La modélisation du coude par des éléments droits nécessite un maillage très fin, pour une précision suffisante (notamment pour un chargement réparti).

Date: 09/07/2015 Page: 9/9

Titre : SSLL100 - Structure symétrique de poutres avec un [...]

Responsable : Jean-Luc FLÉJOU Clé : V3.01.100 Révision : 13347

# 5 Synthèse des résultats

Les résultats obtenus avec  $Code\_Aster$  coı̈ncident bien avec ceux du code POUX (solution de référence) notamment pour la modélisation A (POU C T).

Pour la modélisation B, ils sont très proches également ( <  $4.0\,10^{-4}$  ) sauf pour le cas de charge de pesanteur (  $3\,\%$  d'écart au maximum) à cause de la dépendance de la solution à la finesse de discrétisation.

Ce test valide donc l'élément  $POU_C_T$ .